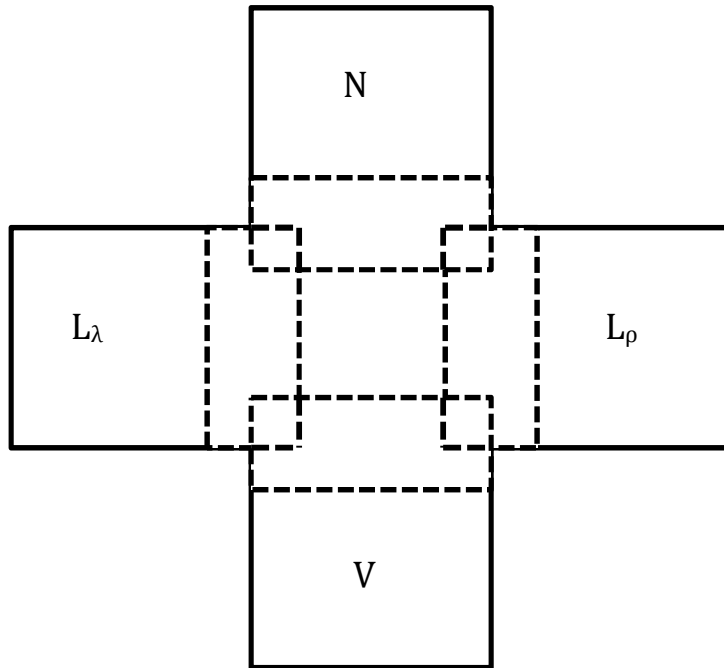


Prof. Dr. Alfred Toth

Leere und nicht leere Ränder von Raumfeldern

1. Das folgende, innerhalb der allgemeinen Objekttheorie (Ontik, vgl. Toth 2012-14) eingeführte Raumfelder-Modell



gestattet es, leere von nicht-leeren Rändern zwischen je zwei, paarweise adjazenten, Raumfeldern zu unterscheiden, d.h. wir haben

$$\sigma_1: V \rightarrow L_\rho = [\mathcal{R}[V, L_\rho]] \quad \sigma_1^{-1}: V \leftarrow L_\rho = [\mathcal{R}[L_\rho, V]]$$

$$\sigma_2: V \rightarrow L_\lambda = [\mathcal{R}[V, L_\lambda]] \quad \sigma_2^{-1}: V \leftarrow L_\lambda = [\mathcal{R}[L_\lambda, V]]$$

$$\sigma_3: N \rightarrow L_\rho = [\mathcal{R}[L_\rho, N]] \quad \sigma_3^{-1}: N \leftarrow L_\rho = [\mathcal{R}[N, L_\rho]]$$

$$\sigma_4: N \rightarrow L_\lambda = [\mathcal{R}[L_\lambda, N]] \quad \sigma_4^{-1}: N \leftarrow L_\lambda = [\mathcal{R}[N, L_\lambda]]$$

Sofern wir nun ein System von dessen Umgebung aus betrachten, genügen diese vier Abbildungen und ihre Konversen: Sie formalisieren gewissermaßen die "äußeren Ecken" von S relativ zu U in $S^* = [S, U]$.

2. Betrachten wir hingegen ein System von einem in ihm eingebetteten Teilsystem aus, d.h. wollen wir die "inneren" Ecken eines $S_i \subset S$ formal fassen, so benötigen wir die folgenden zusammengesetzten Abbildungen

$$\sigma_{10}: S \rightarrow (V \rightarrow L_\rho) = \mathcal{R}[S, [\mathcal{R}[V, L_\rho]]]$$

$$\sigma_{10}^{-1}: S \rightarrow (V \leftarrow L_\rho) = \mathcal{R}[S, [\mathcal{R}[L_\rho, V]]]$$

$$\sigma_{20}: S \rightarrow (V \rightarrow L_\lambda) = \mathcal{R}[S, [\mathcal{R}[V, L_\lambda]]]$$

$$\sigma_{20}^{-1}: S \rightarrow (V \leftarrow L_\lambda) = \mathcal{R}[S, [\mathcal{R}[L_\lambda, V]]]$$

$$\sigma_{30}: S \rightarrow (N \rightarrow L_\rho) = \mathcal{R}[S, [\mathcal{R}[L_\rho, N]]]$$

$$\sigma_{30}^{-1}: S \rightarrow (N \leftarrow L_\rho) = \mathcal{R}[S, [\mathcal{R}[N, L_\rho]]]$$

$$\sigma_{40}: S \rightarrow (N \rightarrow L_\lambda) = \mathcal{R}[S, [\mathcal{R}[L_\lambda, N]]]$$

$$\sigma_{40}^{-1}: S \rightarrow (N \leftarrow L_\lambda) = \mathcal{R}[S, [\mathcal{R}[N, L_\lambda]]]$$

3. Es ist wohl unnötig, Beispiele für sämtliche 16 Abbildungen beizubringen. Ferner kann natürlich nicht nur bei äußeren, sondern auch bei inneren Ecken zwischen jeweils zwischen allen drei ontischen Lagerrelationen (Adessivität, Exessivität, Inessivität) unterschieden werden, was die Anzahl zu untersuchender Fälle auf 48 steigert. Weitere Unterscheidungen betreffen orthogonale, konvexe und konkave Ecken sowie (z.B. bei Kopfbauten) die sog. Über-eckrelationen. Wir beschränken uns daher im folgenden auf einige charakteristische Fälle nicht-leerer Ränder, geordnet nach Lagerrelationen. Die Zuordnung der Abbildungen zu den Beispielen sei dem Lesenden als Aufgabe überlassen.

3.1. Äußere Ecken

3.1.1. Exessivität



Rue d'Ulm, Paris



Zürichbergstr. 36, 8044 Zürich



Froschaugasse 5, 8001 Zürich

3.1.2. Adressivität



Grimselstr. 3, 4054 Basel



Beckenhofstr. 10, 8006 Zürich



Limmattalstr. 223, 8049 Zürich

3.1.3. Inessivität



Belsitostr. 12, 8044 Zürich



Rue des Haudriettes, Paris

3.2. Innere Ecken

3.2.1. Exessivität



Hottingerstr. 33, 8032 Zürich



Stampfenbachstr. 115, 8006 Zürich



Rehetobelstr. 5, 9000 St. Gallen

3.2.2. Adessivität



Drosselstr. 16, 8038 Zürich



Sustenweg 7, 8048 Zürich



Fellenbergstr. 67, 9000 St. Gallen

3.2.3. Inessivität



Limmatquai 20, 8001 Zürich



Hebelstr. 8, 9000 St. Gallen

Literatur

- Toth, Alfred, Systeme, Teilsysteme und Objekte I-IV. In: Electronic Journal for Mathematical Semiotics 2012
- Toth, Alfred, Objekttheoretische Invarianten I-II. In: Electronic Journal for Mathematical Semiotics 2013
- Toth, Alfred, Objektstellung I-XXXVI. In: Electronic Journal for Mathematical Semiotics, 2014a
- Toth, Alfred, Systemstrukturen I-II. In: Electronic Journal for Mathematical Semiotics, 2014b
- Toth, Alfred, Grundlegung einer Theorie ontischer Konnexen I-III. In: Electronic Journal for Mathematical Semiotics, 2014c
- Toth, Alfred, Theorie ontischer Raumfelder I-II. In: Electronic Journal for Mathematical Semiotics, 2014d

23.8.2014